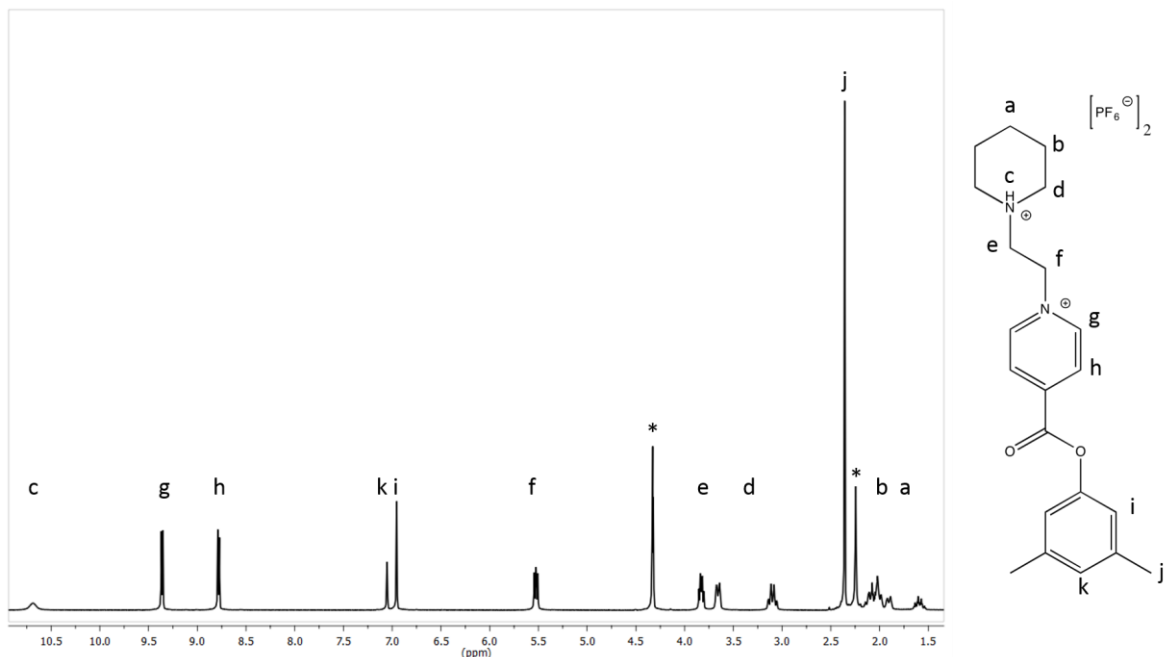


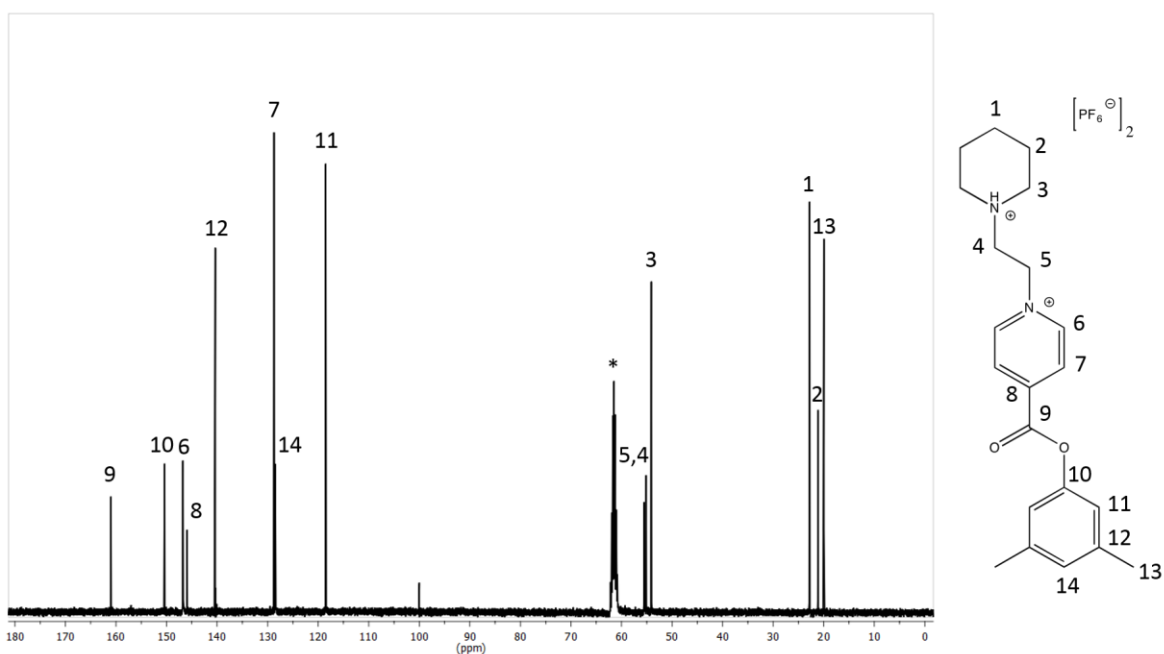
Anexo de RMN

Ejes

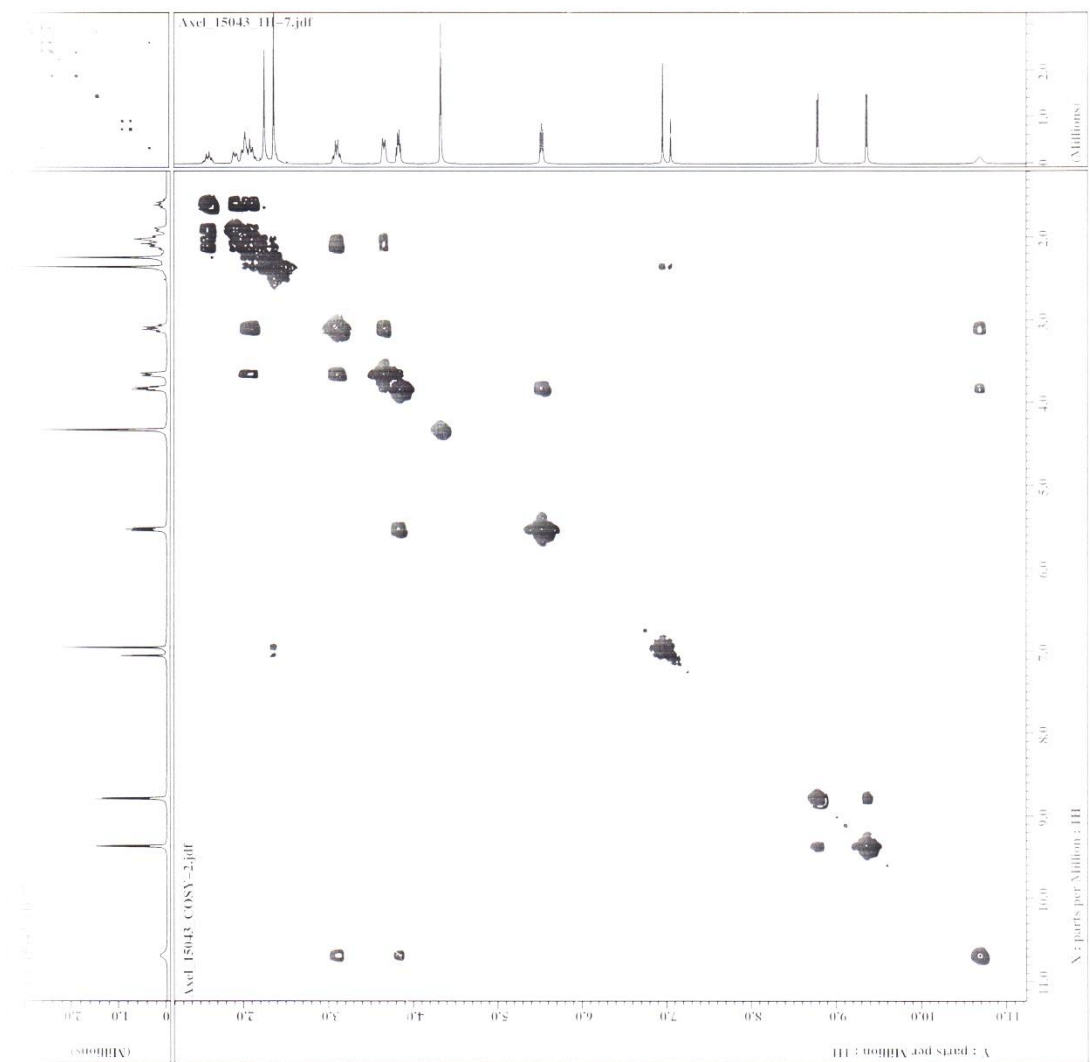
Eje Pi-H



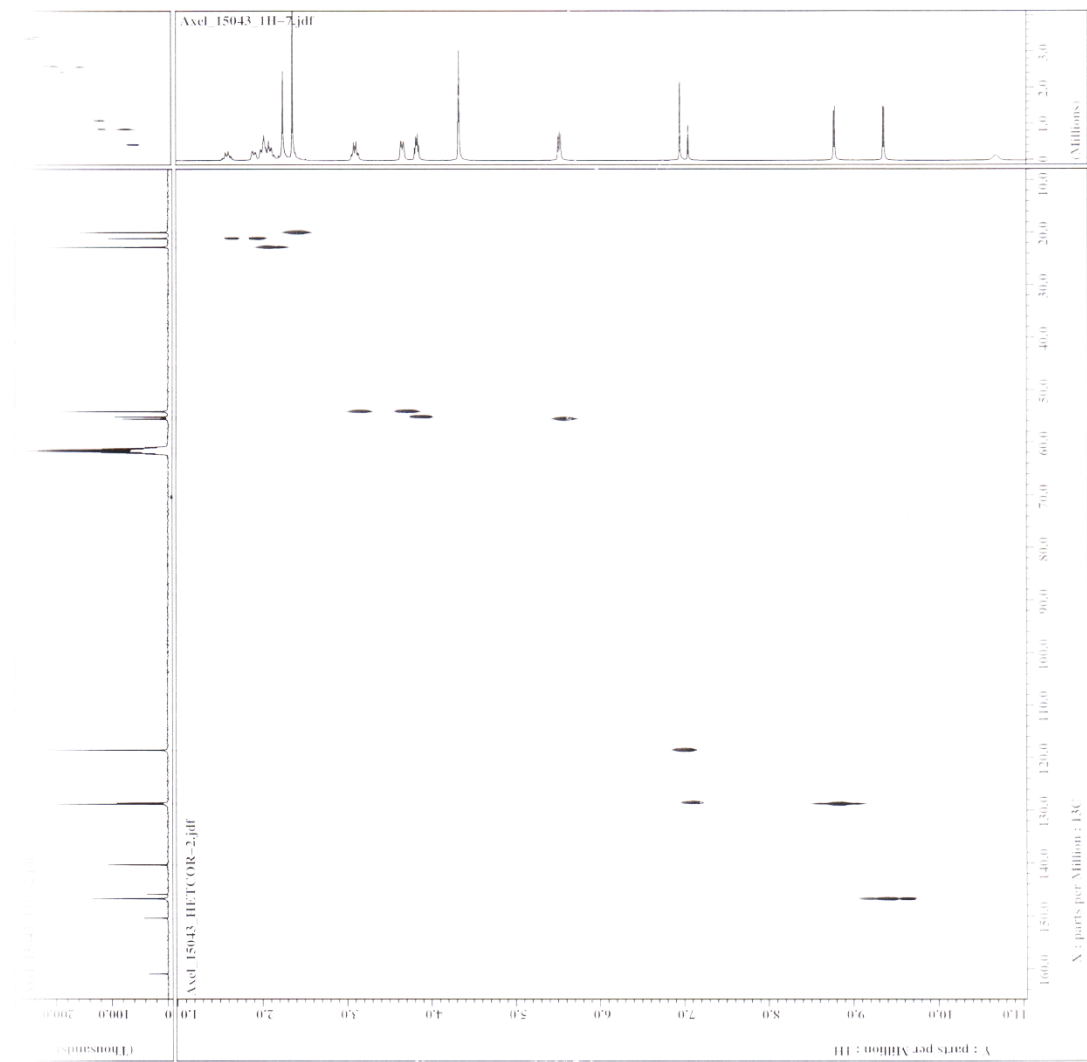
Espectro 1. Espectro de RMN de ^1H del eje [Pi-H] (400MHz, CD_3NO_2 , 20mM, *disolvente residual)



Espectro 2. Espectro de RMN de ^{13}C eje [Pi-H] (100MHz, CD_3NO_2 , 20mM, *disolvente residual)

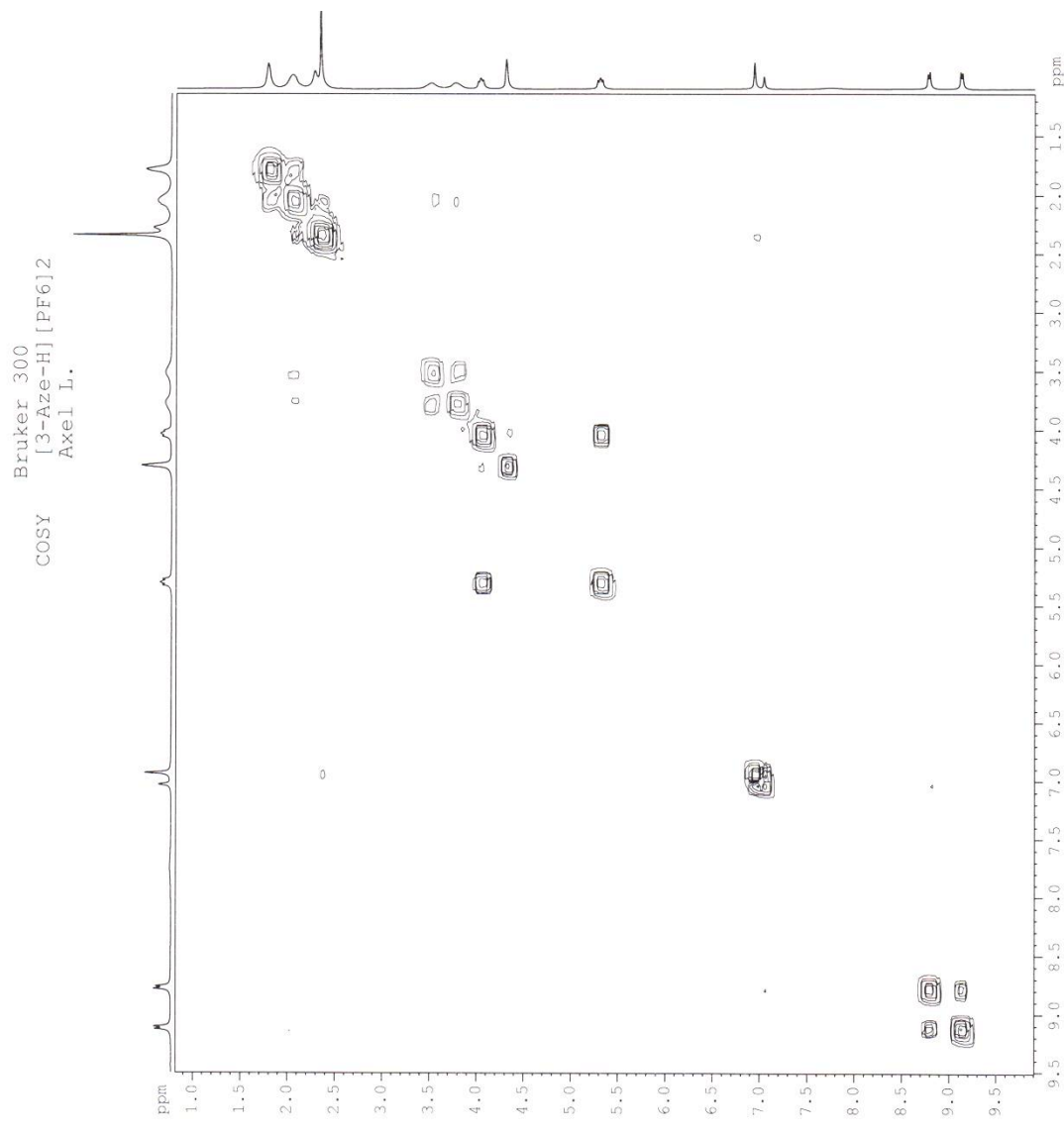


Espectro 3. COSY de eje [Pi-H]

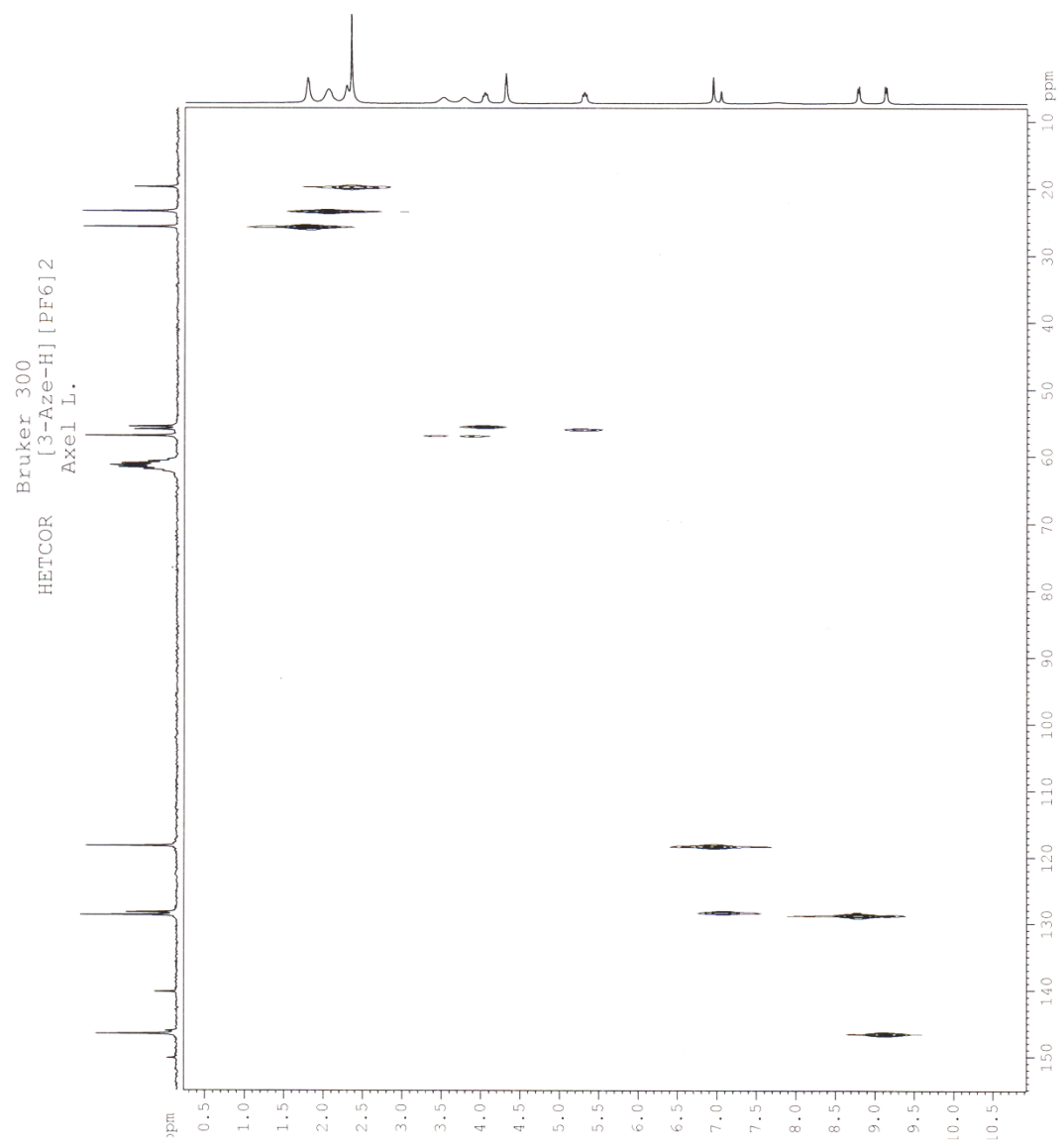


Espectro 4. HETCOR del eje [Pi-H]

Eje Aze-H

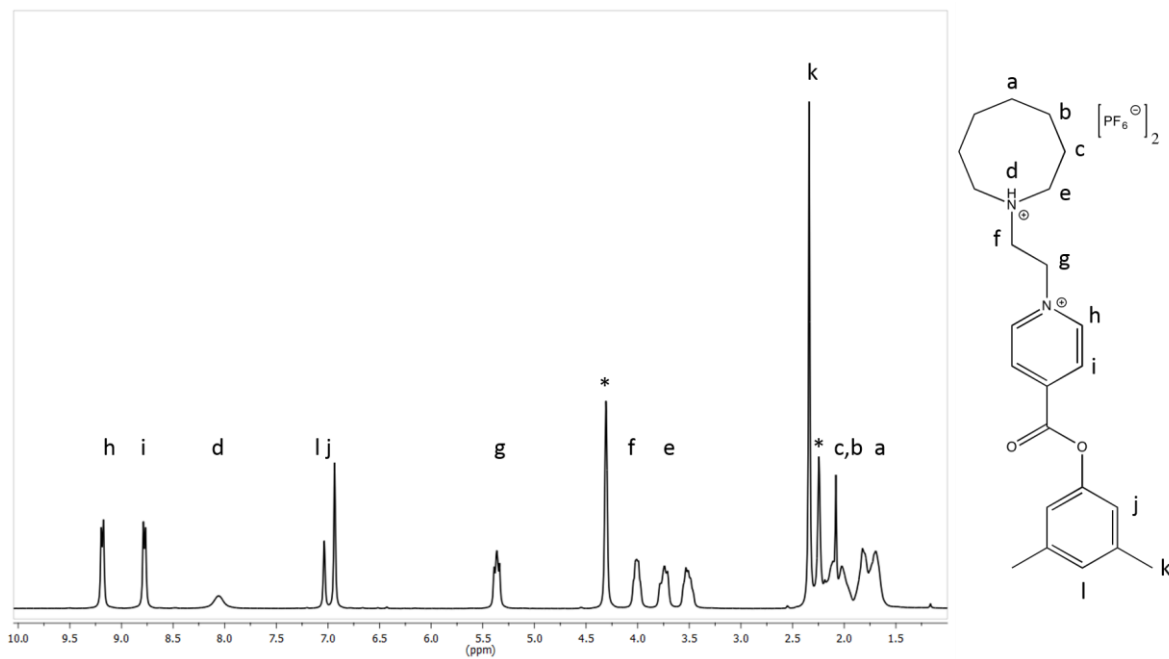


Espectro 5. COSY del eje Aze-H

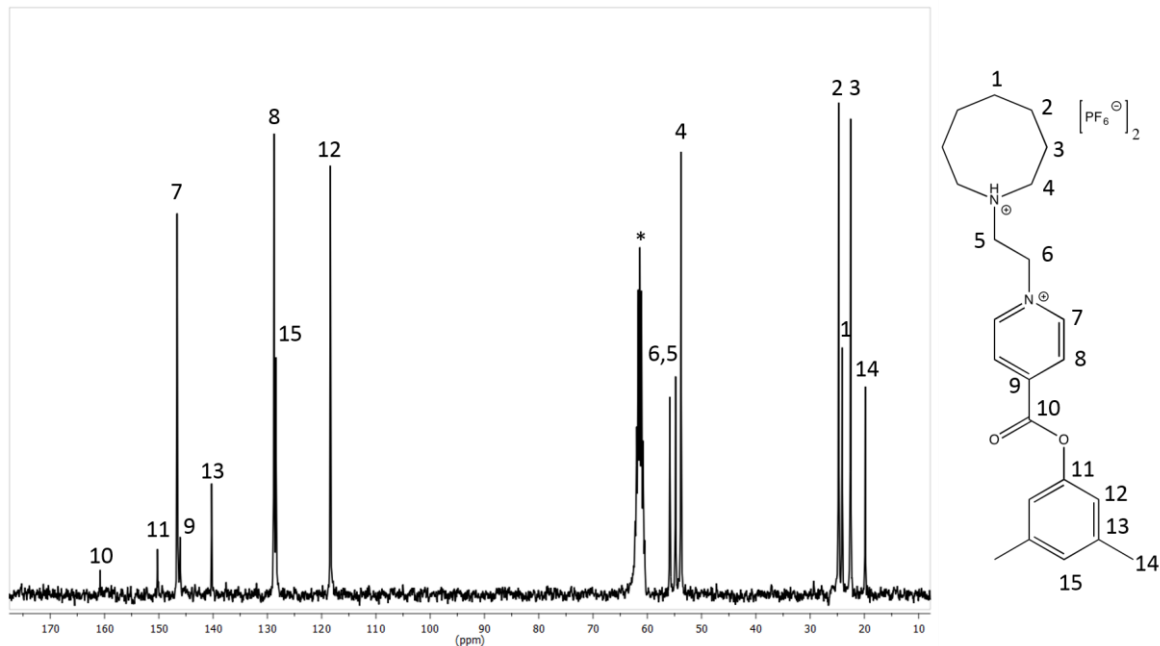


Espectro 6. HETCOR del eje Aze-H

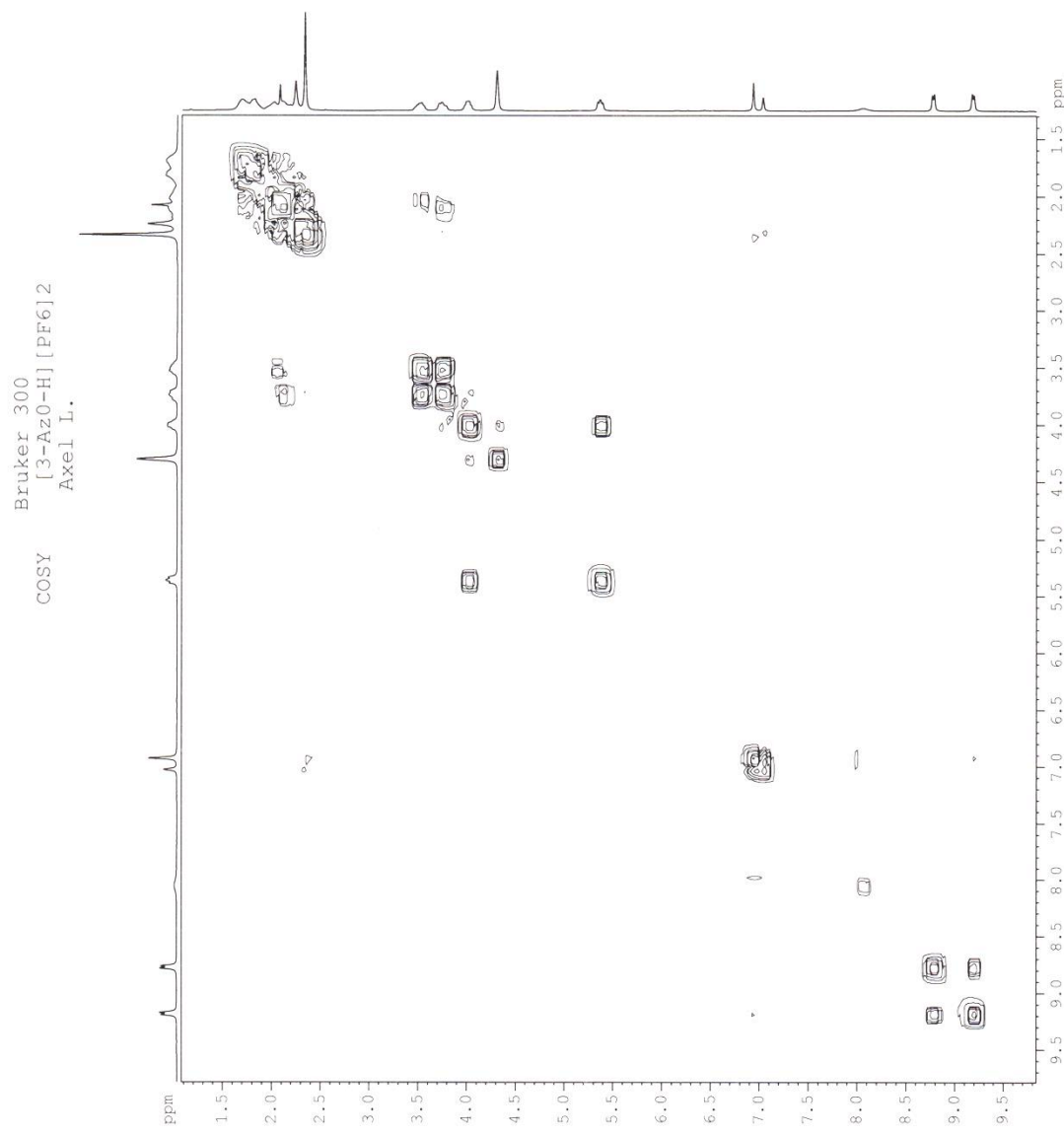
Eje Azo-H



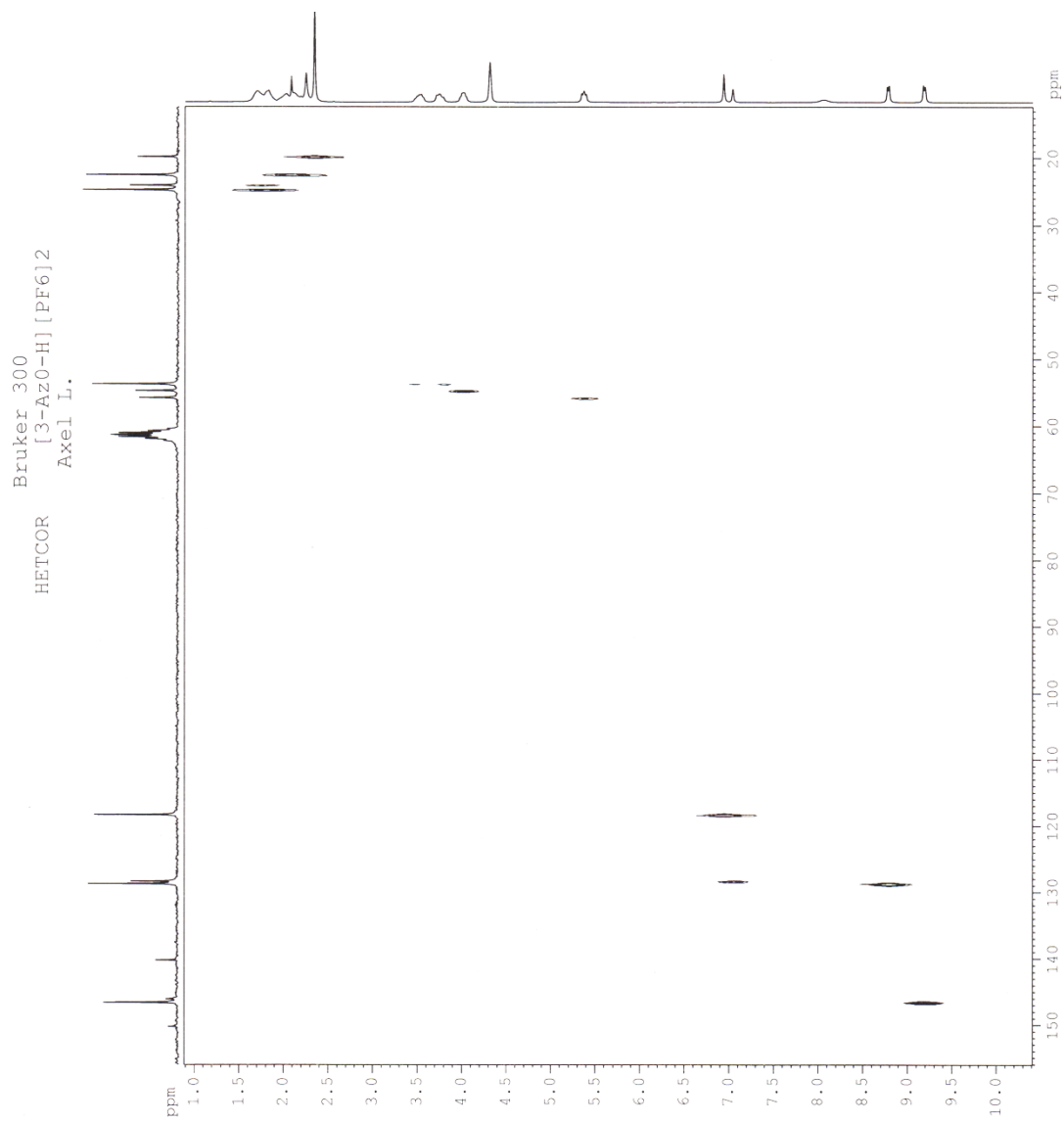
Espectro 7. Espectro de RMN de ^1H del eje [Azo-H] (300MHz, CD_3NO_2 , 20mM, *disolvente residual)



Espectro 8. Espectro de RMN de ^{13}C del eje [Azo-H] (100MHz, CD_3NO_2 , 20mM, *disolvente residual)

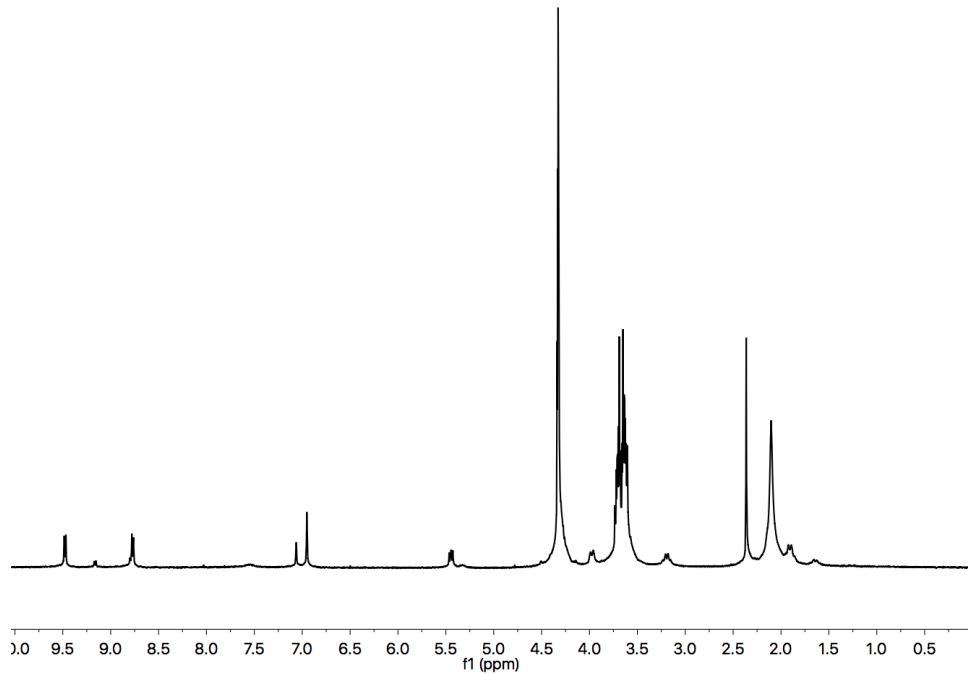


Espectro 9. COSY del eje [Azo]

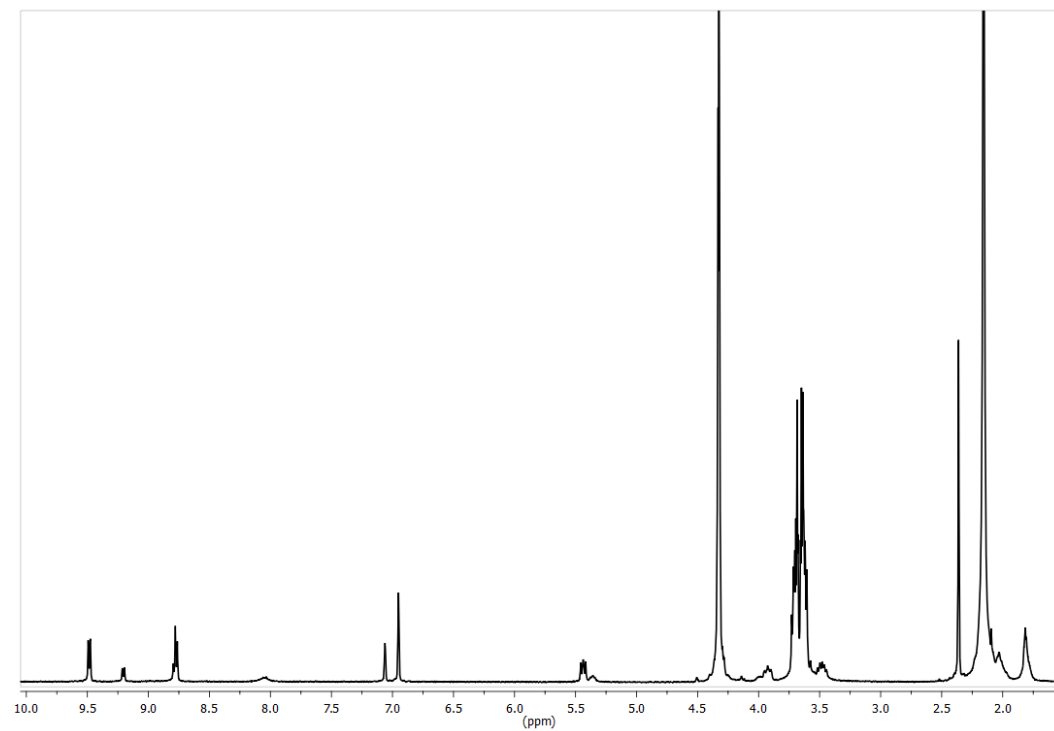


Espectro 10. HETCOR del eje [Azo]

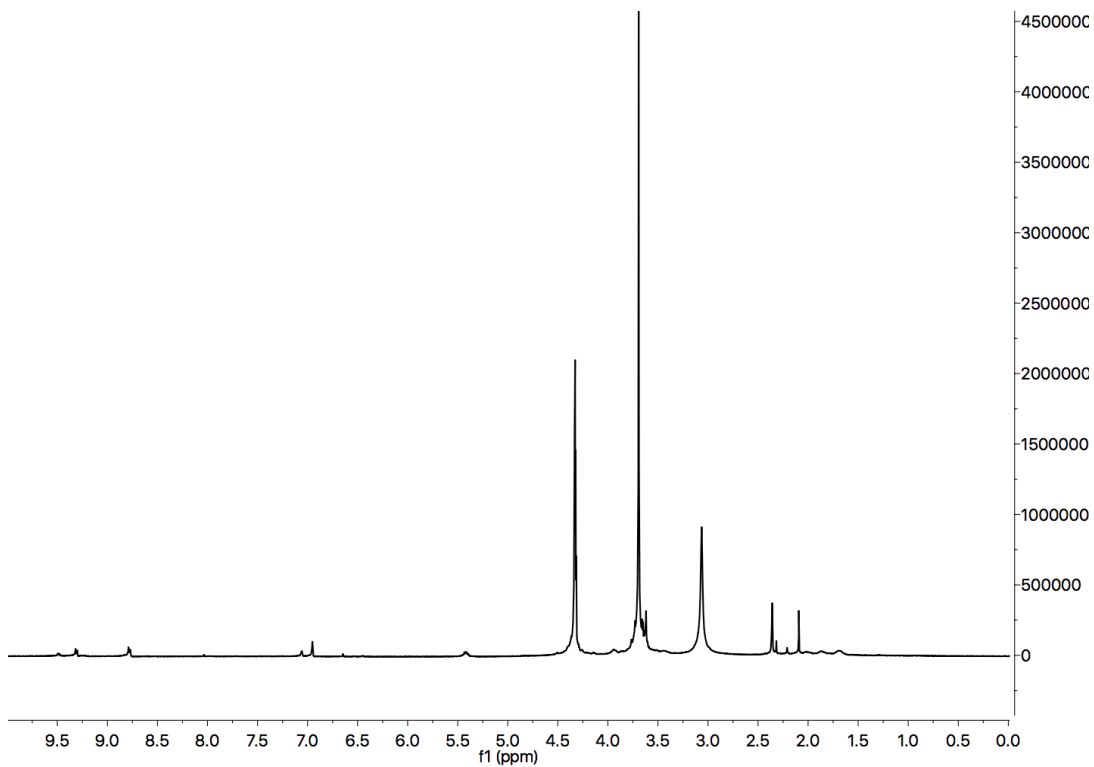
Pseudorrotaxanos



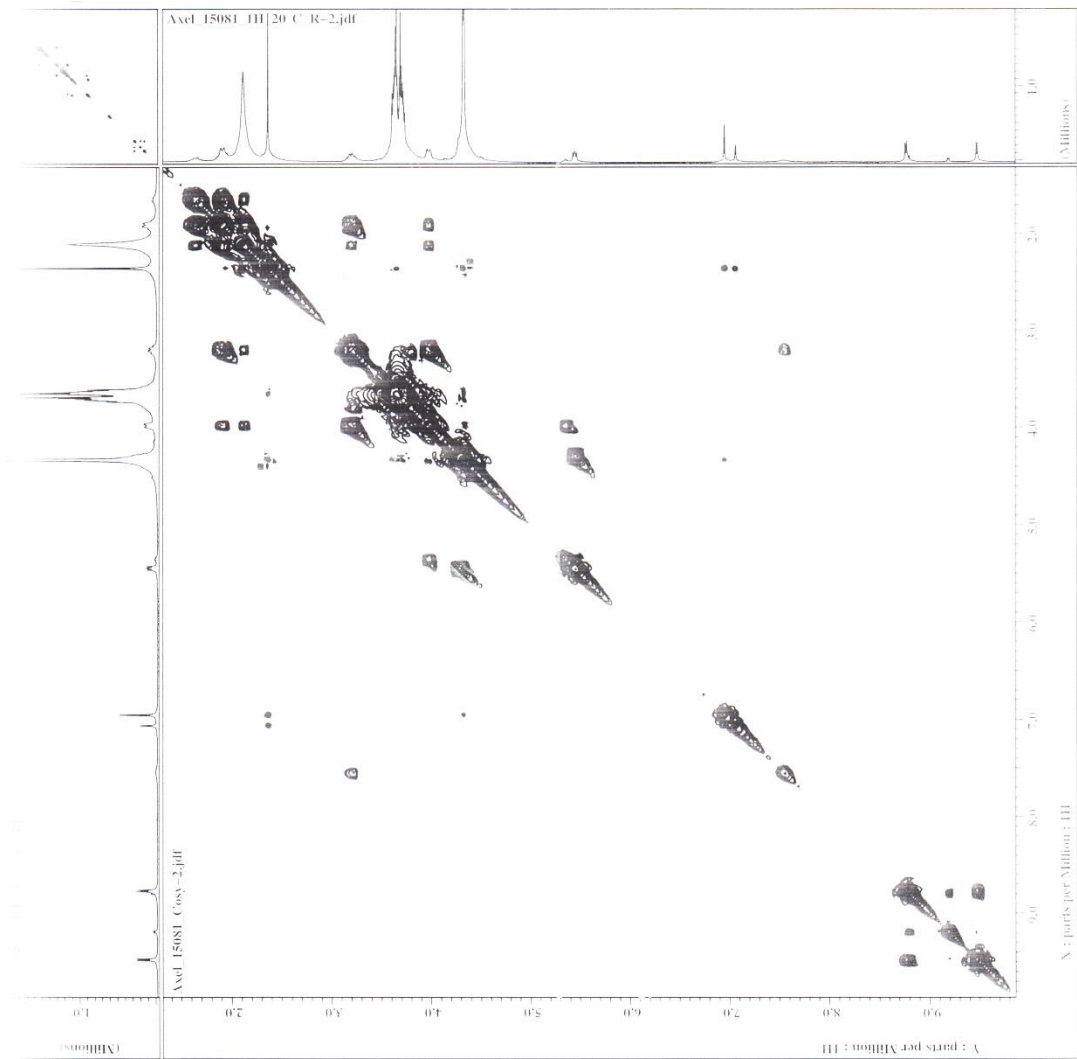
Espectro 11. Espectro de RMN de ^1H del sistema $[\text{Pi-H}]^{2+} + 24\text{C8}$ (400MHz, CD_3NO_2 , $[\text{eje}]=[\text{rueda}]=0.01\text{M}$)



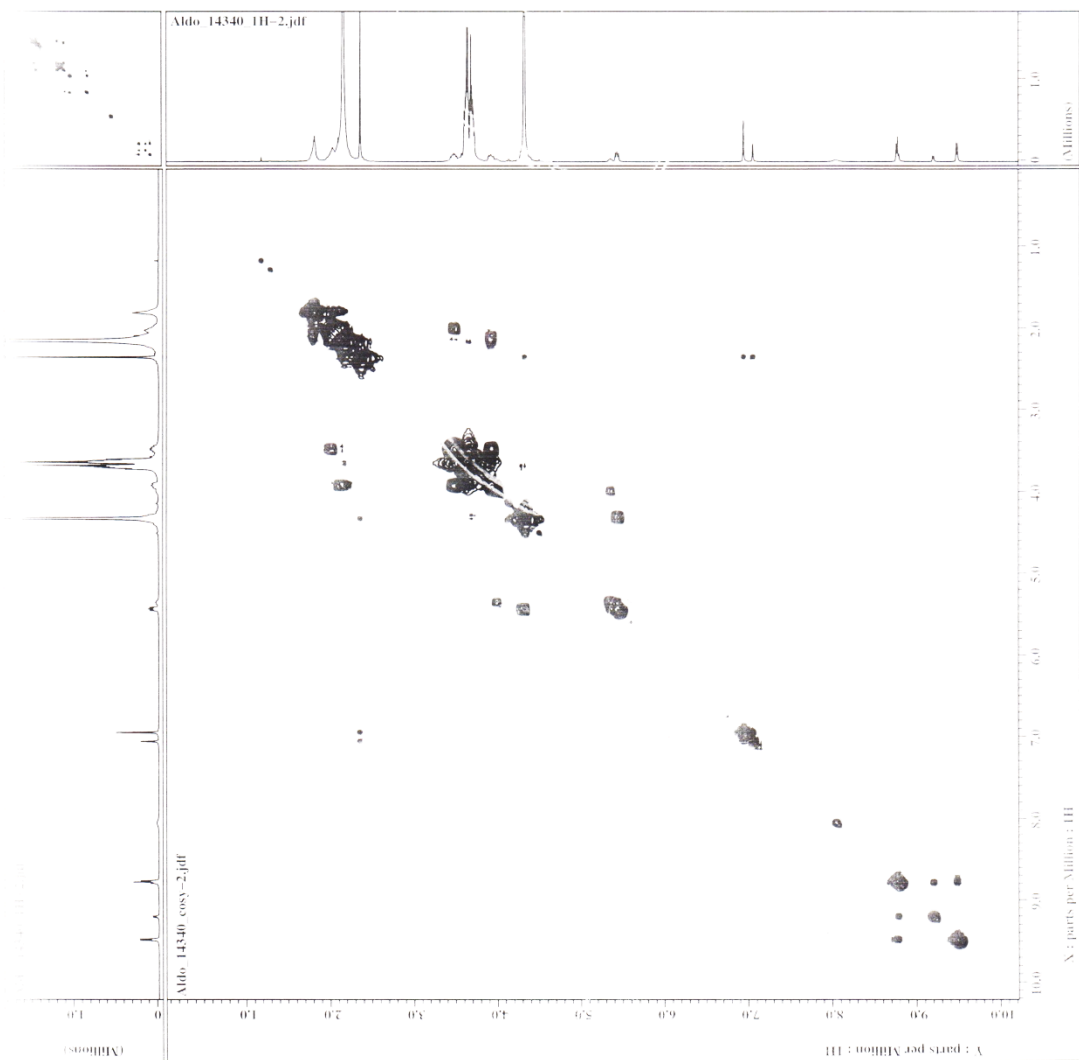
Espectro 12. Espectro de RMN de ^1H del sistema $[\text{Aze-H}]^{2+} + 24\text{C8}$ (400MHz, CD_3NO_2 , $[\text{eje}]=[\text{rueda}]=0.01\text{M}$)



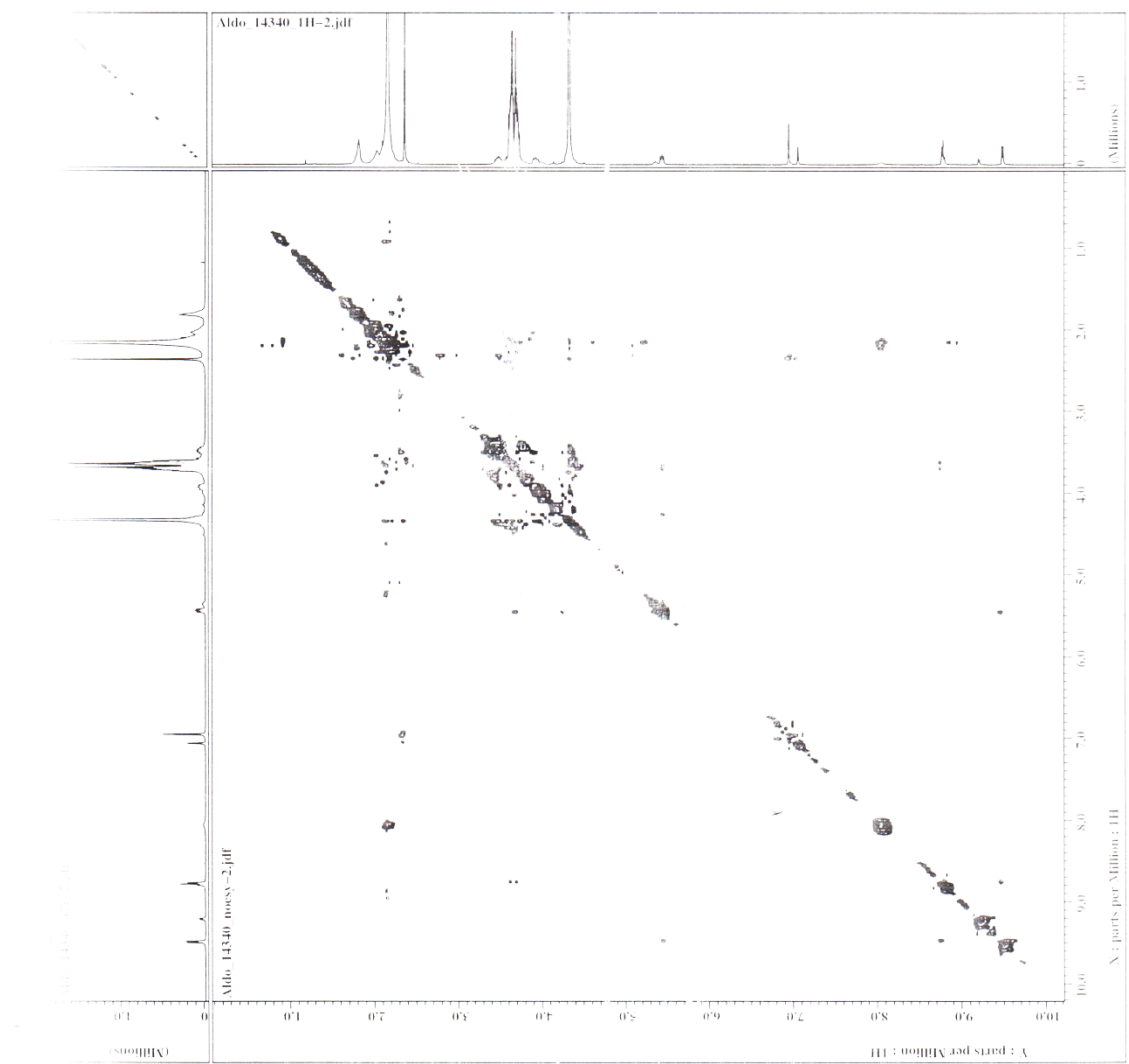
Espectro 13. Espectro de RMN de ¹H del sistema $[Azo-H]^{2+} + 24C8$ (400MHz, CD_3NO_2 , [eje]=[rueda]=0.01M) después de permanecer a 50°C durante 18 días.



Espectro 14. COSY del sistema $[Pi-H]^{2+} + 24C8$



Espectro 15. COSY del sistema $[Aze-H]^{2+} + 24C8$



Espectro 16. NOESY del sistema $[\text{Aze}-\text{H}]^{2+} + 24\text{C8}$